



## پژوهشنامه ریخته‌گری

مقاله پژوهشی:

### اثر مقدار منیزیم بر ریزساختار و سختی مدرج کامپوزیت‌های Al-20Si-XMg ریخته‌گری شده با روش گریز از مرکز

ابراهیم آقازاده<sup>۱</sup>، احمد صمدی<sup>۲\*</sup>، سیف‌الله آقازاده<sup>۱</sup>

۱- کارشناس ارشد مهندسی مواد، دانشگاه صنعتی سهند، تبریز

۲- دانشیار دانشکده مهندسی مواد، دانشگاه صنعتی سهند، تبریز

\* نویسنده مکاتبه کننده: E-mail: samadi@sut.ac.ir

دریافت: ۱۳۹۸/۰۳/۰۱

پذیرش: ۱۳۹۸/۰۴/۲۱

#### چکیده:

برای ارزیابی تأثیر مقدار منیزیم بر ایجاد ریزساختار و سختی مدرج در کامپوزیت‌های Mg-Al-Si-Mg از مرکز، سه استوانه با ترکیب شیمیایی (Al-20Si-XMg) ( $X = 6, 9, 12$ ) (بر حسب درصد وزنی) ریخته‌گری شد. سپس ریزساختار و سختی مقاطع شعاعی مختلف آنها به ترتیب با استفاده از میکروسکوپ‌های نوری و SEM مجهز به سیستم میکرو آنالیز (EDS) و سختی سنجی بریتل مورد بررسی قرار گرفت. برای تحلیل نتایج از نرم‌افزارهای Thermo-Calc و JMat Pro به ترتیب برای رسم نمودارهای فازی تعادلی آلیاژها، کسر جرمی و چگالی فازهای در جای تشکیل شده حین انجام استفاده شد. نتایج نشان می‌دهند که با افزایش مقدار منیزیم آلیاژ، علیرغم اینکه ذرات Mg<sub>2</sub>Si اولیه درشتتری در ریزساختار شکل می‌گیرد اما به واسطه چگالی پایین این ذرات، جدایش مرکزگرای آنها به همراه ذرات Si اولیه طبق قانون استوکس در مکانیک سیالات افزایش می‌یابد. به گونه‌ای که با افزایش مقدار Mg آلیاژها از ۶٪ و ۹٪ و ۱۲٪ وزنی، کسر حجمی ذرات Mg<sub>2</sub>Si در لایه داخلی استوانه‌های ریختگی از مقادیر کمتر از ۷٪ به حدود ۲۸٪ و اندازه متوسط آنها از مقادیر کمتر از ۵۴ میکرومتر به حدود ۱۶۶ میکرومتر افزایش می‌یابد. اما به خاطر نرم بودن ذرات Mg<sub>2</sub>Si نسبت به Si، با افزایش کسر حجمی ذرات Mg<sub>2</sub>Si در لایه‌های داخلی استوانه‌ها سختی این لایه‌ها به ترتیب از ۸۶ به ۸۱ و سپس ۷۸ برینل کاهش می‌یابد.

#### واژه‌های کلیدی:

ریخته‌گری گریز از مرکز، کامپوزیت مدرج، Al-Si-Mg، آلیاژهای فازی، جدایش فازی، ریزساختار هیبریدی.

#### ارجاع به این مقاله:

ابراهیم آقازاده، احمد صمدی، سیف‌الله آقازاده، تأثیر مقدار منیزیم بر ریزساختار و سختی مدرج کامپوزیت‌های Al-20Si-XMg ریخته‌گری شده با روش گریز از مرکز، پژوهشنامه ریخته‌گری، تابستان ۱۳۹۸، جلد ۳، شماره ۲، صفحات ۵۵-۶۶ (DOI: 10.22034/FJR.2019.186486.1084)

#### ۱- مقدمه

نموده است [۳]. در میان مواد کامپوزیتی، نسل جدیدی از آنها با عنوان کامپوزیت‌های با ریزساختار و خواص مدرج هدفمند توسعه یافته‌اند که ریزساختار و خواص آنها به طور پیوسته در امتداد خاصی تغییر می‌کند [۴-۶]. در میان روش‌های تولید کامپوزیت‌های مدرج هدفمند، روش ریخته‌گری گریز از مرکز به خاطر سادگی و هزینه پایین تولید در مقایسه انبوی برای تولید قطعات ریختگی هدفمند با ابعاد بزرگ بیشتر مورد توجه قرار گرفته است [۷-۱۲]. با این روش، کامپوزیت‌های هدفمند

Mg<sub>2</sub>Si می‌باشند. این کامپوزیت‌ها اغلب به علت خواص مکانیکی عالی، سبک بودن و صرفه اقتصادی تولید آنها موردن توجه محققین و صنعت‌گران مهندسی مواد قرار گرفته‌اند [۲، ۱]. خواص فیزیکی و مکانیکی مناسب ذرات تقویت کننده Si، آن را به عنوان یک ترکیب مناسب برای تقویت کامپوزیت‌های زمینه فلزی تبدیل

<sup>1</sup>Functinally graded composites

انجماد در خلاف جهت نیروی گریز از مرکز به سمت جداره داخلی جدایش می‌یابند [۳۰]. یانبو و همکارانش [۳۱] با مقایسه ریزساختار دو نوع کامپوزیت هدفمند آلومینیمی به ترتیب حاوی ذرات تقویت کننده Si و Mg<sub>2</sub>Si/Si نشان دادند که تحت تأثیر نیروی گریز از مرکز، در کامپوزیت هدفمند Si سه لایه شعاعی متمایز از نظر توزیع ذرات Si شامل لایه‌های داخلی، Al/Si/Mg<sub>2</sub>Si میانی و خارجی؛ و در کامپوزیت هدفمند سه فازی Al/Si مولایه شعاعی مختلف شامل لایه داخلی (حاوی ذرات Si و Mg<sub>2</sub>Si تقویت کننده) و لایه خارجی عاری از این ذرات پس از انجماد شکل می‌گیرند. در کارهای قبلی انجام‌شده در این خصوص به سرعت جدایش ذارت Si و Mg<sub>2</sub>Si اولیه و ثانویه و جزئیات جدایش آنها و نحوه شکل‌گیری الگوهای مختلف جدایش هدفمند ذرات تقویت کننده پرداخته نشده است. بر این اساس، در این مقاله سعی می‌شود که با رسم نمودارهای فازی-Thermo Calc تعادلی آلیاژهای Al-20Si-XMg توسط نرمافزار Calc انتخاب مقادیر مختلف Mg در ترکیب شیمیایی آلیاژها، تأثیر مقدار Mg بر نحوه شکل‌گیری درجای ذرات Si و Mg<sub>2</sub>Si اولیه و ثانویه از فاز مذاب و نحوه جدایش، کسر حجمی ذرات و همچنین نرخ جدایش این ذرات حین ریخته‌گری گریز از مرکز و تأثیر آن بر سختی مقاطع شعاعی مختلف استوانه‌های ریختگی مورد بررسی و ارزیابی قرار گیرد.

## ۲- مواد و روش تحقیق

در ابتدا لازم است تا مبنای انتخاب ترکیب شیمیایی آلیاژهای مورد مطالعه بیشتر توضیح داده شود. به این منظور در شکل (۱)، نمودار فازی سیستم Al-20Si-XMg نشان داده شده است (برای اختصار در نگارش ترکیب شیمیایی آلیاژها، از این به بعد تمامی ترکیبات شیمیایی بدون درج %wt، بر حسب درصد وزنی بیان خواهد شد مگر اینکه ذکر شود). بر اساس این نمودار، مراحل انجماد آلیاژهای مورد مطالعه با توجه به درصد وزنی Mg آنها با یکدیگر متفاوت است. به طوری که وقتی میزان Mg کمتر از ۰.۸٪ باشد ابتدا در مراحل نخستین انجماد، ذرات Si اولیه تشکیل می‌شود و اگر میزان منیزیم بیشتر از ۰.۸٪ باشد اولین فاز جامد اولیه شکل گرفته حین انجماد فاز Mg<sub>2</sub>Si خواهد بود و در میزان منیزیم برابر ۰.۸٪ هر دو فاز Si و Mg<sub>2</sub>Si اولیه به صورت همزمان از مذاب حین انجماد تشکیل می‌شوند و همین موضوع، دلیل اصلی انتخاب سه ترکیب Al-20Si-9Mg، Al-20Si-6Mg و Al-20Si-12Mg برای آلیاژهای مورد بررسی در مقاله حاضر است که می‌توانند الگوهای مختلفی از درجه‌بندی ریزساختار و سختی را

مدرج با زمینه آلومینیم و حاوی ذرات تقویت کننده Al<sub>2</sub>O<sub>3</sub>, Al<sub>2</sub>Cu, Mg<sub>2</sub>Si, Si, Al<sub>3</sub>Ni, Al<sub>5</sub>Zr آنها مورد ارزیابی قرار گرفته است [۲۶-۱۳].

در ریخته‌گری گریز از مرکز، وقتی مذاب حاوی ذرات جامد تحت تأثیر نیروی گریز از مرکز قرار می‌گیرد دو ناحیه مجزای غنی و فقیر از ذرات تشکیل می‌شود. مقدار و شدت جدایش ذرات و موقعیت نسبی این نواحی در ریزساختار نمونه ریختگی عمدهاً تحت تأثیر دما و گرانزوی مذاب، نرخ سرمایش، چگالی ذرات و مذاب، اندازه ذرات و سرعت چرخش قالب است. در این عملیات، حين انجماد مذاب و در ناحیه خمیری، ذرات سبک‌تر در خلاف جهت نیروی گریز از مرکز به سمت محور چرخش، و ذرات سنگین‌تر نیز در جهت نیروی گریز از مرکز و در راستای دور شدن از محور چرخش جدایش می‌یابند [۲۷]. حرکت ذرات درون یک مایع گرانزو تحت تأثیر نیروی گریز از مرکز می‌تواند با استفاده از معادله (۱) که در مکانیک سیالات از آن به عنوان قانون استوکس<sup>۱</sup> یاد می‌شود توضیح داده شود، که در آن  $\rho_m$  چگالی ذرات جامد،  $\rho_p$  چگالی مذاب،  $g$  شتاب گرانش زمین،  $D_p$  قطر ذرات جامد،  $\eta$  گرانزوی مذاب،  $V$  سرعت حرکت ذرات جامد در داخل مذاب می‌باشد. در این رابطه  $G = \omega^2 r/g$  است که در آن  $\omega$  بیانگر سرعت زاویه‌ای قالب و  $r$  بیانگر فاصله ذرات از محور چرخش است.

$$V = \frac{|\rho_p - \rho_m| G g D_p^2}{18\eta} \quad (1)$$

بیشتر آلیاژهایی که تاکنون برای ایجاد ریزساختار مدرج هدفمند به روش ریخته‌گری گریز از مرکز مورد مطالعه قرار گرفته‌اند، غالباً سیستم‌های دو یا سه‌تایی بوده‌اند که در آنها ترکیب شیمیایی آلیاژها بر اساس نسبت استوکیومتری یا غیر استوکیومتری اجزاء در فازهای تقویت کننده انتخاب شده‌اند و این سیستم‌ها ظرفیت تشکیل یک یا چند نوع ذره تقویت کننده را حین انجماد داشته‌اند. برای مثال، در آلیاژ هایپریوتکتیک Al-15wt.% Mg<sub>2</sub>Si فقط امکان تشکیل درجای ذرات اولیه Mg<sub>2</sub>Si و جدایش مدرج آنها حین ریخته‌گری گریز از مرکز می‌تواند وجود داشته باشد و یا در آلیاژ Zn-27Al-xMg-ySi و ۰.۹-۰.۲۸-۰.۱۹٪ Al-20Si-9Mg اویله تشکیل می‌شوند [۲۹]. در کامپوزیت هدفمند زمینه آلومینیم ۰.۹٪ تقویت شده با ذرات تشکیل شده درجای Si و Mg<sub>2</sub>Si که با روش ریخته‌گری گریز از مرکز فراوری شده است نشان داده شده است که به خاطر چگالی پایین ذرات Si و Mg<sub>2</sub>Si نسبت به مذاب، این ذرات حین

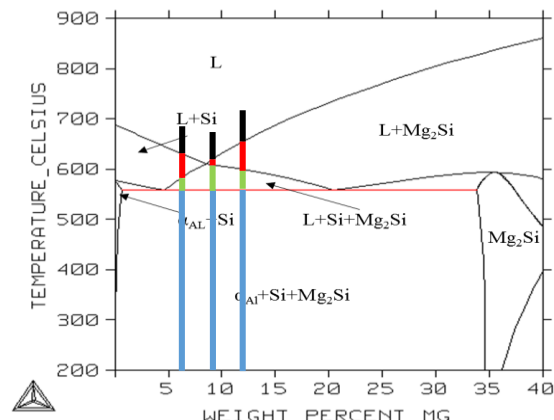
<sup>۱</sup> Stocks' law

فولادی استوانه‌ای چرخان ماشین ریخته‌گری گریز از مرکز عمودی ریخته شدند. قبل از ریخته‌گری، قالب تا دمای  $300^{\circ}\text{C}$  پیش گرم و سرعت چرخش آن روی  $1400$  دور بر دقیقه تنظیم شد. همچنین بهمنظور جداسازی راحت استوانه‌های ریختگی از قالب و نیز کاهش سرعت انجماد مذاب در تماس با جداره قالب، سطوح داخلی قالب فولادی با یک لایه نازک دوغاب سرامیکی ( $33\%$  خمیر Woho ۰.۵٪ سیلیکات سدیم و آب) پوشش داده شد و سپس خشک شد. ارتفاع و ضخامت جداره استوانه‌های ریخته شده نهایی به ترتیب  $110$  و  $15$  میلی‌متر اندازه‌گیری شد.

برای رسم نمودار فازی Al-20Si-XMg و رصد نمودن تغییرات فازی و کسر جرمی فازهای جامد درجای تشکیل شده حین انجماد آلیاژها از نرمافزار Thermo Calc استفاده شد. همچنین بهمنظور پیش‌بینی و تحلیل جدایش فازی مدرج تحت تأثیر نیروی گریز از مرکز (بر اساس قانون استوکس) از رسم نمودارهای تغییرات چگالی درجای فازها حین انجماد آلیاژها با نرمافزار JMat Pro استفاده شد از نرمافزار Image J نیز برای اندازه‌گیری کسر حجمی و اندازه ذرات ریزساختار استفاده شد. برای این منظور از هر مقطع شعاعی استوانه‌های مورد مطالعه، تصاویر ریزساختاری چهار نقطه مختلف مورد ارزیابی و آنالیز تصویری قرار گرفت.

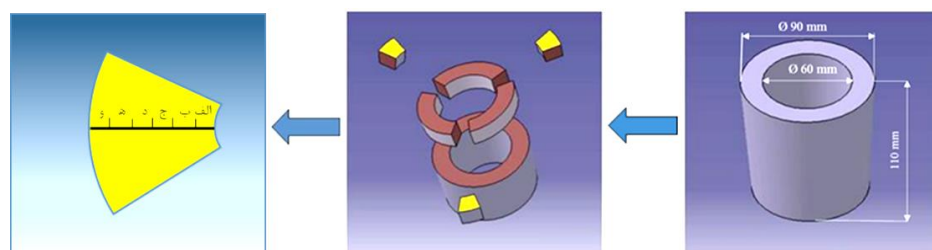
پس از ریخته‌گری نمونه‌های استوانه‌ای، با استفاده از برش با سیم، مقاطع شعاعی مختلفی از آنها مطابق شکل (۲) برش داده شد و پس از سنباده‌زنی و پولیش‌کاری با خمیر الماس  $3/\text{میکرومتر}$ ، در یک محلول  $5/0$  درصد حجمی HF حکاکی شیمیایی شدند. برای مشاهده ریزساختار نمونه‌ها از میکروسکوپ‌های نوری و الکترونی روبشی (SEM) مدل Cam Scan MV2300 مجهز به سیستم میکرو آنالیز شیمیایی (EDS) مدل Inca-Oxford استفاده شد. همچنین برای شناسایی فازهای ثانویه تشکیل شده در ریزساختار از تابش اشعه K<sub>α</sub> مس در دستگاه پراش سنج ایکس (XRD) مدل Bruker Axe-Advance D8 استفاده شد.

در راستای شعاعی استوانه‌های ریختگی مورد نظر پس از انجماد به نمایش بگذارند. بر این اساس، بهمنظور تهیه آلیاژهای Al-20Si-XMg (X=6, 9, 12) ابتدا مقدار لازم از آلیاژ Al-20Si (X=6, 9, 12) با استفاده از یک کوره مقاومتی ذوب شد و سپس با توجه به ترکیب شیمیایی آلیاژهای مورد نظر، مقدار لازم از منیزیم با خلوص تجاری توزین و پس از پیش گرم تا دمای  $350^{\circ}\text{C}$  به مذاب Al-20Si اضافه شد. بر اساس تجربیات قبلی نویسنده‌گان مقاله حاضر [۱۹, ۲۷]، تلفات منیزیم ناشی از تبخیر حین آلیاژسازی و ریخته‌گری در شرایط مشابه تجربیات قبلی حدود  $20\%$  است که این مقدار در انجام محاسبات شارژ برای هر آلیاژ در نظر گرفته شد تا ترکیب شیمیایی آلیاژهای هدف (با خطای قابل قبول) پس از ریخته‌گری و انجماد حاصل شود.



شکل ۱- بخشی از نمودار فازی تعادلی Al-20Si-XMg که توسط نرمافزار Thermo Calc رسم شده و در آن ترکیب شیمیایی هر سه آلیاژ مورد بررسی نشان داده شده است.

در مرحله بعد، آلیاژهای حاوی  $6\%$ ،  $9\%$  و  $12\%$  درصد منیزیم هر کدام با  $100^{\circ}\text{C}$  فوق‌گذار به ترتیب در دماهای  $725^{\circ}\text{C}$ ،  $730^{\circ}\text{C}$  و  $750^{\circ}\text{C}$  مجدد ذوب (دمای لیکوئیدوس این آلیاژها به ترتیب با استفاده از شکل‌های  $5$ ،  $8$  و  $10$  تعیین شدند) و پس از عملیات گاززادایی با اضافه کردن حدود  $5/0\%$  هگزا کلرور اتان، درون قالب



شکل ۲- طرح‌واره‌ای از مقاطع برش نمونه‌های متالوگرافی از استوانه‌های ریختگی.

طیف پراش اشعه X به دست آمده از لایه داخلی استوانه ریختگی Al-20Si-6Mg در شکل (۴) وجود سه فاز Al, Si و Mg<sub>2</sub>Si را در ریزساختار این نمونه به خوبی تأیید می‌کند. با در نظر گرفتن موقعیت آلیاژ Al-20Si-6Mg در نمودار فازی تعادلی شکل (۱)، نمودار کسر جرمی فازهای جامد اولیه در جای تشکیل شده حین انجام تعادلی در شکل (۵) رسم شده است. با توجه به نمودار شکل (۵) مشاهده می‌شود که انجام تعادلی آلیاژ-Al-20Si-6Mg با جوانه‌زنی فاز اولیه در دمای حدود ۶۳۵°C شروع شده و تا ۵۹۰°C ادامه می‌یابد (خط شماره ۲) و سپس وارد ناحیه سه فازی L+Si+Mg<sub>2</sub>Si شده و تا دمای حدود ۵۶۲°C ذرات Si ثانویه و Mg<sub>2</sub>Si اولیه به طور همزمان از مذاب باقیمانده رسوب می‌کنند (خط شماره ۳) تا اینکه در این دما، مذاب باقیمانده با انجام یک تحول یوتکتیک سه‌تایی به Al<sub>(a)</sub>-Si-Mg<sub>2</sub>Si تبدیل شده و انجام خاتمه می‌یابد (خط شماره ۴).

شکل (۵) تغییرات چگالی فازهای تشکیل شده در حین انجام آلیاژ Al-20Si-6Mg را نشان می‌دهد که با استفاده از نرمافزار JMat pro رسم شده است. این تصویر گویای آن است که با کاهش دما چگالی مذاب به طور پیوسته و خطی افزایش یافته و با رسیدن دمای آلیاژ به حدود ۶۳۵°C، ذرات Si اولیه از مذاب شروع به جوانه‌زنی کرده و تا دمای ۵۹۰°C رشد می‌کنند و در این فاصله دمایی به خاطر چگالی پایین‌تر ذرات Si اولیه (۲/۳۱ g/cm<sup>3</sup>) نسبت به مذاب (۲/۴۱ g/cm<sup>3</sup>)، بر اساس معادله (۱) در خلاف جهت نیروی گریز از مرکز به سمت محور چرخش قالب (جداره داخلی استوانه ریختگی) جدایش می‌یابند که ریزساختار شکل (۳-الف) برای این آلیاژ این ادعا را به خوبی تائید می‌کند که در آن کسر حجمی ذرات Si اولیه (۲۶ درصد) در جداره داخلی استوانه ریختگی بیشترین مقدار است. در ادامه با رسیدن دما به محدوده ۵۶۲-۵۹۰°C و تشکیل همزمان ذرات Si ثانویه و ذرات سبک‌تر Mg<sub>2</sub>Si اولیه (با چگالی ۱/۹۱ g/cm<sup>3</sup>) از مذاب باقیمانده، این ذرات نیز مطابق قانون استوکس (معادله ۱) به سمت محور چرخش قالب جدایش پیدا کرده و باعث شکل‌گیری ریزساختارهای شکل (۳-ب) و (۳-ج) در لایه‌های شعاعی میانی استوانه ریختگی شده‌اند. درنهایت نیز با انجام تحول یوتکتیک سه‌تایی در دمای حدود ۵۶۲°C مذاب باقیمانده به ریزساختار یوتکتیکی Al<sub>(a)</sub>-Si-Mg<sub>2</sub>Si مطابق شکل (۵-۳) و شکل (۳-و) در لایه‌های خارجی استوانه تبدیل شده است.

برای ارزیابی تأثیر درجه‌بندی ریزساختار بر سختی مقاطع شعاعی مختلف استوانه‌های ریخته شده، روی هر مقطع، سه الی پنج بار سختی سنجی برینل (با ساقمه ۵ mm) و اعمال بار ۲۵۰ kgf مطابق استاندارد ASTM E10 انجام گرفت و میانگین آنها به عنوان شاخص سختی آن مقطع گزارش شد.

### ۳- نتایج و بحث

شکل (۳)، ریزساختار مقاطع شعاعی مختلف استوانه‌های ریختگی را از سمت جداره داخلی استوانه (تصاویر (الف)) به سمت جداره خارجی آنها (تصاویر (و)) نشان می‌دهد. با بهره‌گیری از نرمافزار Image J اندازه متوسط ذرات Mg<sub>2</sub>Si و Si اولیه و ثانویه در تصاویر ریزساختاری ارائه شده در شکل (۳) تعیین و نتایج مربوطه در جدول (۱) ارائه شده است. لازم به توضیح است که ذرات Si اولیه حین انجام آلیاژ Al-20Si-6Mg و ذرات Mg<sub>2</sub>Si اولیه حین انجام آلیاژهای Mg و Al-20Si-9Mg و ذرات 20Si-12Mg در فاصله بین دمای لیکوئیدوس و دمای سالیدوس آلیاژها شکل می‌گیرند (شکل ۵) و ذرات Si و Mg<sub>2</sub>Si ثانویه نیز ذراتی هستند که حین انجام در فاصله بین دمای سالیدوس هر آلیاژ و دمای یوتکتیک (۵۶۰°C) تشکیل می‌شوند. همان‌گونه که پیش‌بینی می‌شد، الگوی درجه‌بندی شعاعی ریزساختار سه استوانه ریختگی مورد مطالعه با توجه به درصد وزنی Mg و تغییر مراحل انجام آنها مطابق تصاویر ریزساختاری شکل (۳) و نتایج استخراج شده از آنها در جدول (۱) با یکدیگر متفاوت است که در ادامه الگوی درجه‌بندی شعاعی هر استوانه و نحوه ایجاد آن به تفکیک مورد بحث و بررسی قرار می‌گیرد.

#### ۱-۳- الگوی درجه‌بندی ریزساختار استوانه Al-20Si-6Mg

بر اساس تصاویر ارائه شده در شکل (۳) (ردیف اول)، ریزساختار استوانه Al-20Si-6Mg در راستای شعاعی از سه ناحیه متمایز تشکیل یافته است:

الف) لایه‌های داخلی حاوی کسر حجمی بالایی از ذرات

تقویت کننده Si و Mg<sub>2</sub>Si (تصاویر (الف) تا (ج)).

ب) لایه انتقالی که در یک سمت حاوی ذرات تقویت کننده

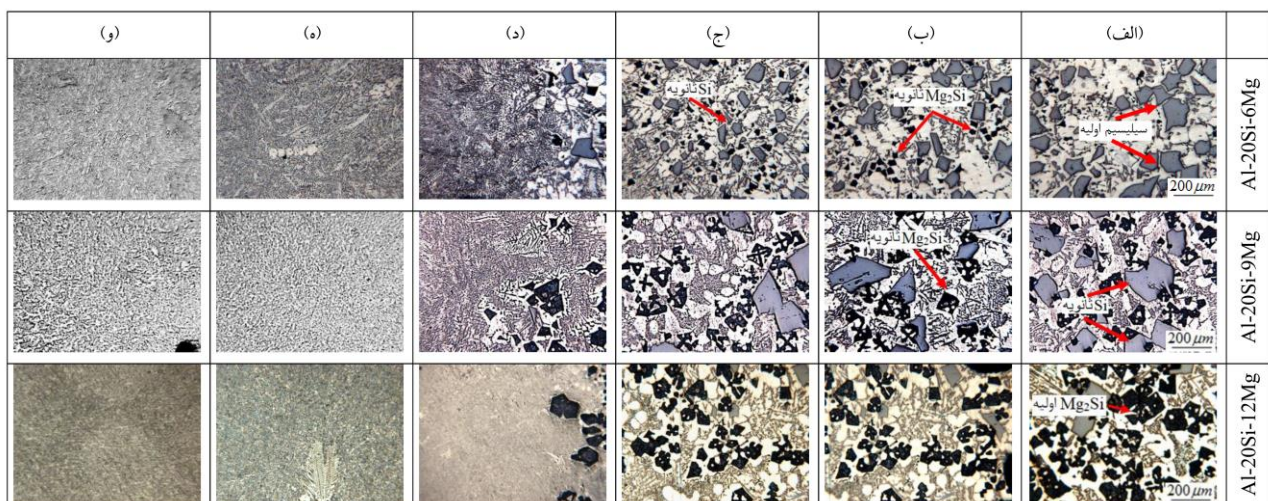
Mg<sub>2</sub>Si و Si و در سمت دیگر قادر این ذرات است

(تصویر (د)).

ج) لایه‌های خارجی شامل ریزساختار یوتکتیک

سه‌تایی Al<sub>(a)</sub>-Si-Mg<sub>2</sub>Si عاری از ذرات تقویت کننده

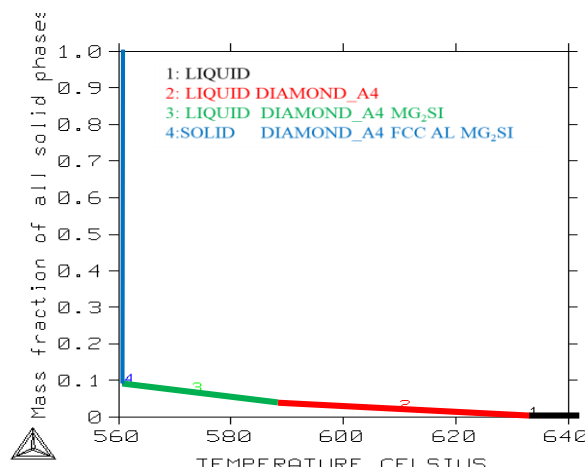
اضافی (تصاویر (ه) تا (و)).



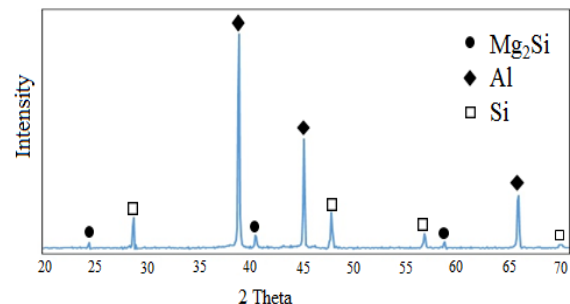
شکل ۳- ریزساختار میکروسکوپ نوری از مقاطع مختلف شعاعی استوانه‌های ریختگی (از (الف) تا (و)) به ترتیب دلالت دارند بر ریزساختار داخلی ترین تا خارجی‌ترین لایه شعاعی استوانه.

جدول ۱- اندازه متوسط ذرات تقویت کننده در ریزساختار استوانه‌های ریختگی مورد مطالعه

آلیاز	اندازه ذرات Si اولیه (μm)	اندازه ذرات Mg <sub>2</sub> Si ثانویه (μm)	اندازه ذرات Mg <sub>2</sub> Si اولیه (μm)	اندازه ذرات Si ثانویه (μm)	اندازه ذرات Si اولیه (μm)
Al-20Si-6Mg	۵۴	-	-	۱۱۵	۱۶۴
Al-20Si-9Mg	۱۲۲	-	-	۲۳۰	-
Al-20Si-12Mg	۱۴۸	۱۸۵	-	۱۴۳	-



شکل ۵- تغییرات کسر جرمی ذرات جامد  $Mg_2Si$  و  $Si$  تشکیل شده با افت دما هین انجماد تعادلی آلیاز Al-20Si-6Mg که با نرم افزار Thermo calc رسم شده‌اند.



شکل ۴- طیف پراش اشعه X از لایه داخلی استوانه Al-20Si-9Mg

می‌شود که در ریزساختار این لایه‌ها ذرات کوچک  $Mg_2Si$  (با کسر حجمی کمتر از ۷ درصد و اندازه متوسط حدود ۵۴ میکرومتر) همراه با ذرات  $Si$  کوچک‌تر  $Si$  (با کسر حجمی کمتر از ۱۵ درصد و اندازه متوسط حدود ۱۱۵ میکرومتر) تجمع یافته‌اند (شکل‌های ۳-ب و ۳-ج). هر دوی این ذرات هین انجماد در ناحیه سه فازی  $L+Si+Mg_2Si$  به صورت درجا تشکیل می‌شوند ولی با توجه به اینکه چگالی ذرات  $Mg_2Si$  نسبت به  $Si$

در تصاویر ریزساختاری مشاهده شده برای آلیاز Al-20Si-6Mg در شکل (۳)، ذرات سبک و درشت  $Si$  اولیه (با اندازه متوسط حدود ۱۶۴ میکرومتر و کسر حجمی ۲۶ درصد) که اولین ذرات جامد تشکیل شده هین انجماد در ناحیه دو فازی  $L+Si$  محسوب می‌شوند با جدایش به سمت محور چرخش قالب (مطابق معادله (۱) عمدتاً در جداره داخلی استوانه تجمع یافته‌اند (شکل ۳-الف). اما به تدریج با حرکت به سمت لایه‌های خارجی استوانه ملاحظه

بر اساس معادله (۲) ملاحظه می‌شود که سرعت ذرات Si اولیه و درنتیجه نرخ جدایش مرکزگرای آنها حین انجماد گریز از مرکز آلیاز Mg-Al-20Si-6Mg حدود ۲/۰۳ برابر ذرات Si ثانویه است. اما بر اساس معادله (۳) سرعت ذرات Si ثانویه و  $Mg_2Si$  و درنتیجه نرخ جدایش مرکزگرای آنها حین انجماد تقریباً یکسان است. به همین دلیل پس از انجماد کامل مطابق شکل (۳)، ذرات Si اولیه در جداره داخلی استوانه ریختگی، و ذرات Si ثانویه و  $Mg_2Si$  هر دو در لایه‌های میانی (بین جداره داخلی و لایه انتقالی) استوانه تجمع یافته‌اند.

**۳-۲-۳- الگوی درجه‌بندی ریزساختار استوانه Al-20Si-9Mg**  
ریزساختار مقاطع شعاعی مختلف استوانه Al-20Si-9Mg در شکل (۳) ردیف ۲، نشان داده شده است. بر اساس تصاویر ارائه شده در این شکل، ریزساختار این استوانه نیز در راستای شعاعی از سه ناحیه متمایز تشکیل یافته است:

(الف) لایه‌های داخلی حاوی کسر حجمی بالایی از ذرات تقویت کننده Si و  $Mg_2Si$  (تصاویر (الف) تا (ج)،

(ب) لایه انتقالی که در یک سمت حاوی ذرات تقویت کننده Si و  $Mg_2Si$  و در سمت دیگر فاقد این ذرات است (تصویر (د))،  
(ج) لایه‌های خارجی شامل ریزساختار یوتکتیک سه‌تایی- $Al_{(a)}$ - $Si-Mg_2Si$  عاری از ذرات تقویت کننده اضافی (تصاویر (ه) تا (و)).

ریزساختار SEM از لایه داخلی استوانه ریختگی Al-20Si-9Mg و آنالیز EDS از فازهای ریزساختاری در شکل (۷) نشان داده شده است. مشاهده می‌شود که ذرات مشکی و خاکستری رنگ موجود در ریزساختار به ترتیب  $Mg_2Si$  و Si هستند.

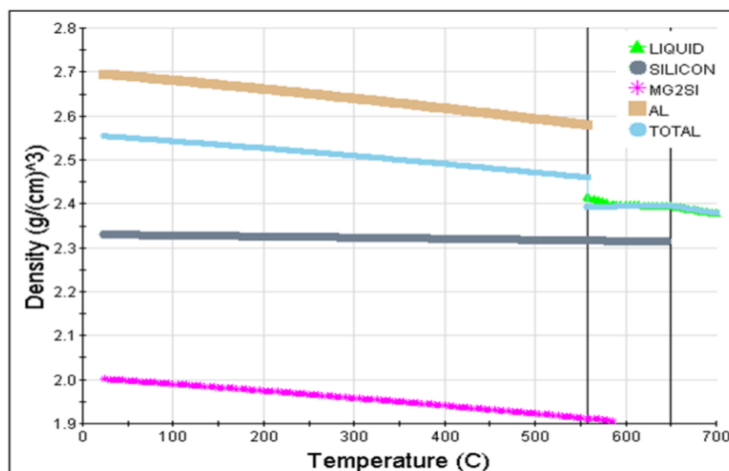
کمتر است و ذرات Si ثانویه نیز کوچک‌تر از ذرات Si اولیه هستند لذا هیچ‌کدام از آنها حین انجماد نتوانسته‌اند بر اساس معادله استوکس جدایش مرکزگرای کاملی را به سمت جداره داخلی استوانه داشته باشند و درنتیجه در لایه‌های شعاعی میانی بین جداره داخلی و لایه انتقالی ریزساختار استوانه مورد نظر تجمع یافته‌اند.

با اندازه‌گیری اندازه متوسط ذرات Si اولیه در شکل (۳-الف)، ذرات Si ثانویه و  $Mg_2Si$  در شکل‌های (۳-الف) و (۳-ب) به ترتیب برابر معادل ۱۱۵، ۱۶۴ و ۵۴ میکرومتر و چگالی ذرات Si  $Mg_2Si$ ، Si و  $Mg_2Si$  به ترتیب ۲/۴، ۱/۹ و ۲/۴ گرم بر سانتی‌متر مکعب، سرعت جدایش نسبی گریز از مرکز ذرات حین انجماد استوانه Al-20Si-6Mg در ناحیه خمیری نمودار شکل (۶) با استفاده از معادله (۱) به صورت معادلات (۲) و (۳) تخمین زده می‌شود که پس از انجماد کامل، منجر به ایجاد ریزساختار مدرج هدفمند در راستای شعاعی استوانه مطابق تصاویر ریزساختاری شکل (۳) شده است.

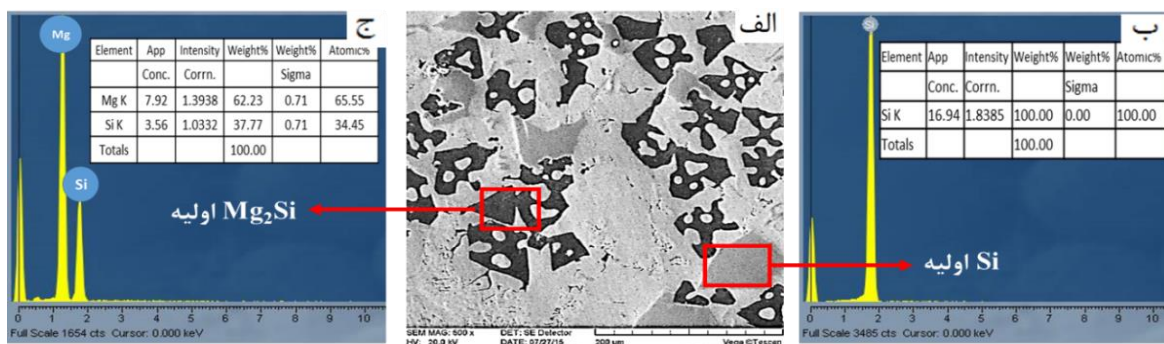
$$\frac{V_{PSi}}{V_{SSI}} = \frac{(\rho_{Si} - \rho_{Al})D_{PSi}^2}{(\rho_{Si} - \rho_{Al})D_{SSI}^2} = \frac{(164)^2}{(115)^2} = 2.03 \quad (2)$$

$$\frac{V_{Mg2Si}}{V_{SSI}} = \frac{(\rho_{Mg2Si} - \rho_{Al})D_{Mg2Si}^2}{(\rho_{Si} - \rho_{Al})D_{SSI}^2} = \frac{(1.9 - 2.4) \times (54)^2}{(2.3 - 2.4) \times (115)^2} = 1.10 \quad (3)$$

که در آنها  $\rho_{Si}$ ،  $\rho_{Al}$  و  $\rho_{Mg2Si}$  به ترتیب چگالی ذرات Si و  $Mg_2Si$  و محلول مذاب آلومینیم؛ و  $D_{Mg2Si}$ ،  $D_{SSI}$ ،  $D_{PSi}$  و  $D_{Al}$  به ترتیب اندازه متوسط ذرات Si اولیه و ثانویه و  $Mg_2Si$  هستند.

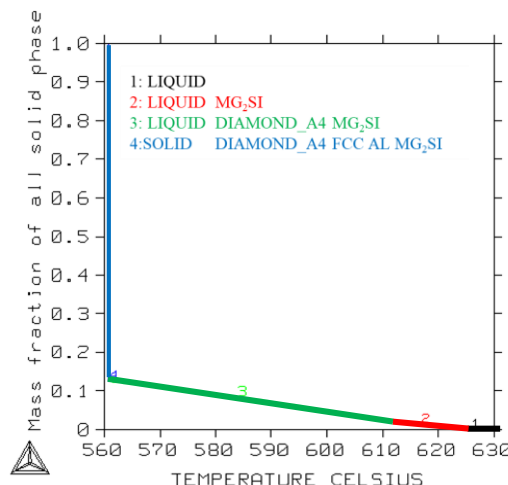


شکل ۶- تغییرات چگالی فازهای درجای تشکیل شده حین انجماد آلیاز Al-20Si-6Mg که با استفاده از نرم‌افزار JMat Pro رسم شده است.



شکل ۷- ریزساختار SEM از ذرات مشاهده شده در ریزساختار آن (ب) و (ج).

سرعت جدایش نسبی ذرات حین انجماد استوانه Al-20Si-9Mg به صورت معادله (۴) تخمین زده می‌شود که پس از انجماد کامل، منجر به ایجاد ریزساختار مدرج هدفمند در راستای شعاعی استوانه مطابق تصاویر ریزساختاری شکل (۳) شده است.



شکل ۸- تغییرات کسر جرمی ذرات جامد Si و Mg<sub>2</sub>Si تشکیل شده با افت دما حین انجماد تعادلی آلیاژ Al-20Si-9Mg که با نرم‌افزار Thermo calc رسم شده‌اند.

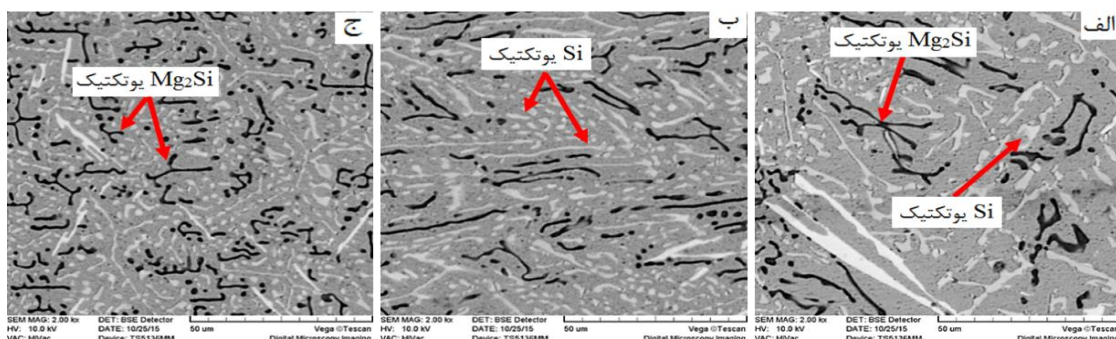
$$\frac{V_{SMg_2Si}}{V_{SSi}} = \frac{(\rho_{Mg_2Si} - \rho_{Al})D_{SMg_2Si}^2}{(\rho_{Si} - \rho_{Al})D_{SSi}^2} = \frac{(1.9 - 2.4) \times (122)^2}{(2.3 - 2.4) \times (230)^2} = 1.40 \quad (4)$$

که در آن‌ها،  $D_{SMg_2Si}$  و  $D_{SSi}$  به ترتیب اندازه متوسط ذرات ثانویه و Mg<sub>2</sub>Si ثانویه هستند. بر اساس معادله (۴)، ملاحظه می‌شود که سرعت حرکت ذرات Mg<sub>2</sub>Si ثانویه حدود ۱/۴ برابر سرعت حرکت ذرات Si ثانویه است. اما چون حین انجماد هر دو ذره به طور همزمان تشکیل می‌شوند به نظر می‌رسد که ذرات Mg<sub>2</sub>Si ثانویه حین گریز از مرکز، به ذرات Si ثانویه برخورد نموده و به هم می‌چسبند و با سرعت یکسان به سمت جداره داخلی استوانه جدایش پیدا می‌نمایند.

با مقایسه تصاویر ریزساختاری (الف) تا (ج) دو استوانه Al-20Si-9Mg و Al-20Si-6Mg در شکل (۳)، مشاهده می‌شود که با افزایش منیزیم از ۶ به ۹ درصد، کسر حجمی ذرات Mg<sub>2</sub>Si اولیه ۱۷ درصد افزایش پیدا کرده است و مورفوЛОژی Mg<sub>2</sub>Si اولیه در لایه داخلی به دلیل افزایش دامنه انجماد (مقایسه شکل (۵) خط ۳ و شکل (۸) خط ۳) از حالت چندوجهی منظم/مکعبی در استوانه ریختگی Al-20Si-6Mg به چندوجهی نامنظم/حروف‌چینی در استوانه Al-20Si-9Mg تغییر پیدا کرده است. علاوه بر آن، در استوانه ریختگی Mg<sub>2</sub>Si اولیه از توزیع همگن‌تری نسبت به استوانه ریختگی Al-20Si-9Mg برخوردارند.

با در نظر گرفتن موقعیت آلیاژ Al-20Si-9Mg در نمودار فازی شکل (۱)، کسر جرمی فازهای جامد تشکیل شده در مراحل مختلف انجماد آلیاژ در شکل (۸) رسم شده است. با توجه به این نمودار مشاهده می‌شود که انجماد آلیاژ Al-20Si-9Mg با جوانهزنی فاز Mg<sub>2</sub>Si اولیه شروع شده (خط شماره ۲) و در ادامه به مرحله رسوب همزمان ذرات Mg<sub>2</sub>Si ثانویه و Si (خط شماره ۳) می‌رسد. این نمودار نشان می‌دهد که در این آلیاژ مقدار Mg<sub>2</sub>Si اولیه تشکیل یافته به تنها یک میزان ذرات Mg<sub>2</sub>Si ثانویه و Si است. زیرا مطابق نمودار فازی شکل ۱ ناحیه دوفازی L+Mg<sub>2</sub>Si+Si بوده و در نمودار شکل (۸) نیز کسر جرمی ذرات Mg<sub>2</sub>Si+Si شروع می‌شود. در نمودار (۸) بیشتر از کسر جرمی ذرات Mg<sub>2</sub>Si اولیه (خط ۲ در نمودار) است. از این‌رو با صرف‌نظر از مرحله اول انجماد می‌توان چنین فرض کرد که انجماد آلیاژ با تشکیل همزمان ذرات Si و Mg<sub>2</sub>Si شروع می‌شود.

اندازه متوسط ذرات Si و Mg<sub>2</sub>Si ثانویه در شکل (۳) آلیاژ Al-20Si-9Mg (الف، ب، ج) به ترتیب برابر ۱۲۲، ۲۳۰ میکرومتر و چگالی ذرات Si و Mg<sub>2</sub>Si و مذاب به ترتیب معادل ۱/۹، ۲/۳ و ۲/۴ گرم بر سانتی‌متر مکعب است. با استفاده از معادله (۱)



شکل ۹- ریزساختار SEM از زمینه یوتکتیک مقاطع شعاعی مختلف استوانه ریختگی Al-20Si-9Mg (الف) به سمت لایه خارجی (ج).

با در نظر گرفتن موقعیت آلیاژ Al-20Si-12Mg در نمودار فازی شکل (۱)، کسر جرمی فازهای جامد اولیه درجای تشکیل شده حین انجاماد تعادلی در شکل (۱۰) رسم شده است. در این نمودار مشاهده می‌شود که انجاماد تعادلی آلیاژ Al-20Si-12Mg با جوانهزنی فاز اولیه  $Mg_2Si$  در دمای حدود  $650^{\circ}C$  شروع شده و تا دمای حدود  $603^{\circ}C$  ادامه می‌یابد (خط شماره ۲). سپس به مرحله رسوب همزمان  $Mg_2Si$  و Si از مذاب باقیمانده می‌رسد (خط شماره ۳). به طور کلی ریزساختار این آلیاژ مشابه ریزساختار آلیاژ Al-20Si-9Mg بوده و تفاوت ریزساختار آنها با یکدیگر در کسر حجمی ذرات تقویت کننده  $Mg_2Si$  و Si (مطابق شکل (۳) و نیز اندازه متوسط این ذرات (مطابق جدول ۱) و مورفولوژی آنها است. مشاهده می‌شود که با افزایش مقدار منیزیم آلیاژهای مورد مطالعه، نه تنها کسر حجمی ذرات Si به طور قابل ملاحظه‌ای کاهش، و کسر حجمی و اندازه متوسط ذرات  $Mg_2Si$  به ترتیب به  $\%28$  و  $166$  میکرومتر افزایش یافته بلکه مورفولوژی ذرات  $Mg_2Si$  نیز تغییریافته است که البته با نتایج گزارش شده در منابع دیگر [۳۲-۳۵] نیز مطابقت دارد. در کامپوزیت زمینه آلومینیم  $390$  تقویت شده با ذرات  $Mg_2Si$  و Si نیز نشان داده شده است که با افزایش مقدار Mg تا  $10$  درصد، کسر حجمی ذرات Si اولیه به شدت کاهش می‌یابد [۳۰]. لی [۳۴] و کین و همکارانشان [۳۵] نشان دادند که با افزایش کسر حجمی ذرات  $Mg_2Si$  در ریزساختار کامپوزیت‌های Al- $Mg_2Si$  و بسته به شرایط انجاماد آنها، مورفولوژی ذرات  $Mg_2Si$  از حالت هشت‌وجهی به شکل قیفی، سپس هشت وجهی‌های ناقص و درنهایت به دندربیت‌های بزرگ تغییر پیدا می‌کند. مکانیزم رشد و مورفولوژی ذرات اولیه  $Mg_2Si$  در این نوع کامپوزیت‌ها توسط ساختار کریستالی ذاتی ذرات  $Mg_2Si$  و شرایط رشد آنها داخل مذاب اطراف تعیین می‌شود. تغییر شرایط مذاب حین انجاماد، معمولاً نرخ‌های رشد ذرات  $Mg_2Si$  را در راستای جهات  $<100>$  و  $<111>$  تغییر داده و به سمت ایجاد مورفولوژی‌های مختلف فوق الذکر سوق می‌دهد [۳۶]. با وجود این، در شرایط انجاماد

شکل (۹)، تصاویر ریزساختار SEM از مورفولوژی زمینه یوتکتیک سه‌تایی  $Al_{(a)}+Mg_2Si+Si$  را در مقاطع شعاعی مختلف استوانه ریختگی Al-20Si-9Mg نشان می‌دهد. این تصاویر نشان می‌دهند که چگونه به‌واسطه تفاوت نرخ سرمایش مقاطع شعاعی مختلف استوانه، ریزساختار زمینه یوتکتیک آنها تغییریافته است. در لایه خارجی استوانه به دلیل نرخ سرمایش بالا، امکان رشد ذرات Si و  $Mg_2Si$  یوتکتیکی فراهم نشده و این ذرات به صورت یوتکتیک میله‌ای و لایه‌ای ظریف تشکیل شده‌اند اما با اتمام انجاماد لایه خارجی استوانه، و به‌واسطه تشکیل فاصله هوایی میان قالب و جداره استوانه (که ناشی از انقباض انجامادی جداره خارجی استوانه است) نرخ سرمایش کاهش یافته و ذرات Si و  $Mg_2Si$  زمینه یوتکتیکی در لایه‌های میانی و داخلی استوانه عمدتاً به صورت ذرات لایه‌ای درشت ظاهر شده‌اند. ساختارهای یوتکتیک مشابهی توسط صمدی و همکارش [۲۷] در لایه‌های شعاعی مختلف استوانه ریختگی آلیاژ Al-13.8 wt.%  $Mg_2Si$  فراوری شده با ریخته‌گری گریز از مرکز، گزارش شده است که به دلایل ایجاد این نوع تغییرات در مورفولوژی یوتکتیک در بالا اشاره شد.

### ۳-۳- الگوی درجه‌بندی ریزساختار استوانه

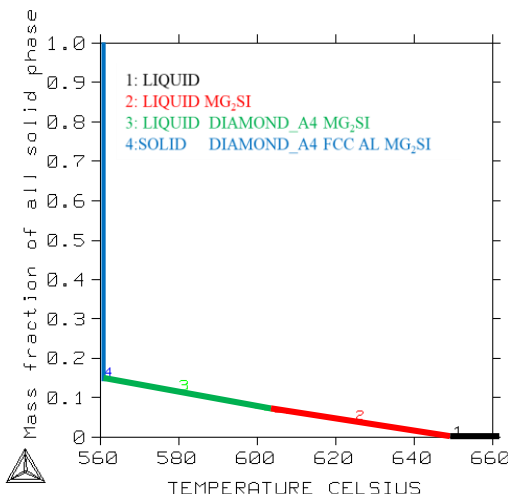
ریزساختار مقاطع شعاعی مختلف استوانه Al-20Si-12Mg نیز در شکل (۳) ردیف سوم نشان داده شده است. بر اساس تصاویر ارائه شده در این شکل، ریزساختار این استوانه نیز در راستای شعاعی از سه ناحیه متمایز تشکیل یافته است:

(الف) لایه‌های داخلی حاوی کسر حجمی بالایی از ذرات تقویت کننده در جای Si و  $Mg_2Si$  اولیه (تصاویر (الف) تا (ج))،

(ب) لایه انتقالی که در یک سمت حاوی ذرات تقویت کننده Si و  $Mg_2Si$  در سمت دیگر فاقد آن است (شکل (د))،

(ج) لایه‌های خارجی شامل ریزساختار یوتکتیکی سه‌تایی  $-Al_{(a)}-Si-Mg_2Si$  عاری از ذرات اولیه غیر یوتکتیکی (تصاویر (ه) تا (و)).

داخلی‌ترین لایه استوانه ریختگی مطابق شکل (۳-الف) و تا حدودی شکل (۳-ب) بیان گر برخوردهای زیاد این ذرات با یکدیگر حین جداش مرکزگرا است.



شکل ۱۰- تغییرات کسر جرمی ذرات جامد Si و  $Mg_2Si$  تشکیل شده با افت دما حین انجماد تعادلی آلیاز Al-20Si-12Mg که با نرم‌افزار Thermo calc رسم شده‌اند.

شکل (۱۱)، تصاویر ریزساختار SEM از مورفولوژی زمینه یوتکتیک سه‌تایی  $Al_{(a)} + Mg_2Si + Si$  در مقاطع شعاعی مختلف استوانه ریختگی Al-20Si-12Mg نشان می‌دهد. در این تصاویر نیز تغییرات ریزساختار زمینه یوتکتیک در مقاطع شعاعی مختلف استوانه، مشابه همان تغییرات ریزساختار یوتکتیکی است که علت آن در شکل (۹) برای آلیاز Al-20Si-9Mg مورد بحث قرار گرفت.

#### ۴-۳- سختی استوانه‌های ریختگی

در شکل (۱۲)، تغییرات سختی استوانه‌ها بر حسب فاصله شعاعی از لایه داخلی آنها نشان داده شده است. همان‌گونه که مشاهده می‌شود سختی لایه‌های داخلی هر سه استوانه ریختگی به دلیل جداش مرکزگرای ذرات تقویت کننده Si و  $Mg_2Si$  اولیه/ثانویه بیشتر از لایه خارجی آنها است. اما با توجه به اینکه سختی فاز

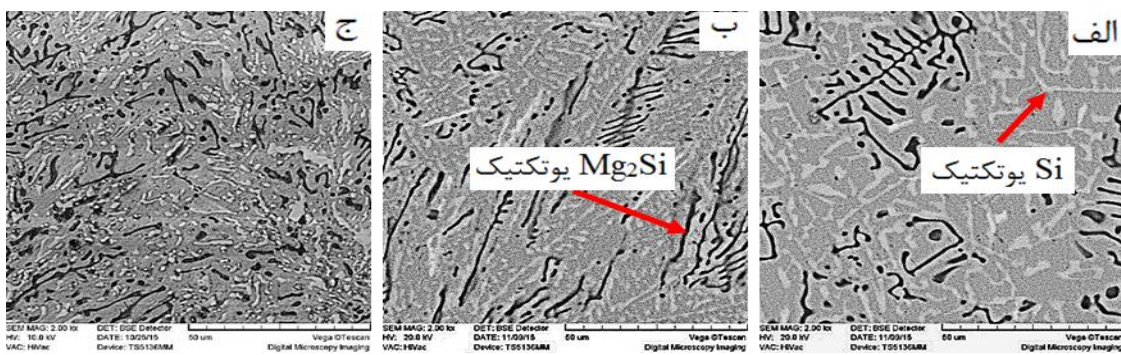
عادی و معمولی، شکل تعادلی هشت‌وجهی به خاطر انرژی آزاد سطحی کمتر [۳۴] و یا بزرگ بودن ضریب جکسون و آنتروپی ذوب بالا [۳۵]، مورفولوژی غالب و ترجیحی برای این ذرات محسوب می‌شود.

بر اساس نتایج آنالیز ریزساختاری ارائه شده در جدول (۱)، اگر اندازه متوسط ذرات Si ثانویه و  $Mg_2Si$  اولیه و ثانویه در لایه داخلی استوانه  $Al-20Si-12Mg$  به ترتیب معادل ۱۴۳، ۱۸۵ و ۱۴۸ میکرومتر و چگالی ذرات  $Mg_2Si$ ، Si و مذاب نیز مطابق شکل ۶ به ترتیب معادل ۱/۹، ۲/۳ و ۲/۴ گرم بر سانتی مترمکعب در نظر گرفته شود، در این صورت سرعت جداش نسبی این ذرات حین انجماد استوانه  $Al-20Si-12Mg$  به صورت معادلات (۵) و (۶) تخمین زده می‌شود که پس از انجماد کامل، منجر به ایجاد ریزساختار مدرج هدفمند در راستای شعاعی استوانه مطابق تصاویر ریزساختاری ارائه شده در شکل (۳) برای این آلیاز شده است.

$$\frac{V_{pMg2Si}}{V_{SMg2Si}} = \frac{(\rho_{Mg2Si} - \rho_{Al})D_{pMg2Si}^2}{(\rho_{Mg2Si} - \rho_{Al})D_{SMg2Si}^2} = \frac{(185)^2}{(148)^2} = 1.56 \quad (5)$$

$$\frac{V_{pMg2Si}}{V_{ssi}} = \frac{(\rho_{Mg2Si} - \rho_{Al})D_{pMg2Si}^2}{(\rho_{Si} - \rho_{Al})D_{ssi}^2} = \frac{(1.9 - 2.4) \times (185)^2}{(2.3 - 2.4) \times (143)^2} = 8.36 \quad (6)$$

بر اساس معادلات (۵) و (۶) ملاحظه می‌شود که سرعت ذرات  $Mg_2Si$  اولیه در حین انجماد حدود ۱/۵ برابر ذرات  $Mg_2Si$  ثانویه و ۸ برابر ذرات Si ثانویه است. همان‌طور که مشاهده می‌شود، با توجه به کسر حجمی بالای ذرات  $Mg_2Si$  (۲۸ درصد) و افزایش اندازه متوسط آنها، نسبت سرعت جداش ذرات Si به  $Mg_2Si$  در این استوانه بیشتر از دو استوانه  $Al-20Si-6Mg$  و  $Al-20Si-9Mg$  است. ظاهر آگلومره شده ذرات  $Mg_2Si$  اولیه در



شکل ۱۱- ریزساختار SEM از زمینه یوتکتیکی مقاطع شعاعی استوانه ریختگی Al-20Si-12Mg از لایه داخلی (الف)، لایه میانی (ب) و لایه خارجی (ج).

اندازه کوچک‌تر، کسر حجمی کمتر و توزیع مناسبی برخوردارند و بالاترین سختی نیز در این استوانه به دست می‌آید.

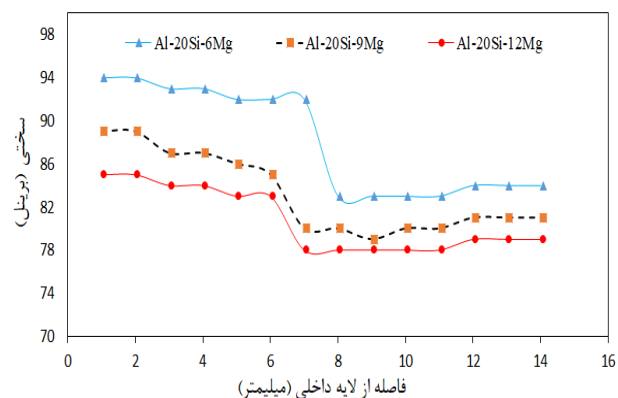
۴- در استوانه ریختگی Mg-Al-20Si-9Mg به دلیل افزایش اندازه و کسر حجمی ذرات Mg<sub>2</sub>Si اولیه، ضمن افزایش سرعت جدایش ذرات Mg<sub>2</sub>Si نسبت به ذرات Si برخورد و چسبیدن ذرات Mg<sub>2</sub>Si با ذرات Si نیز حین جدایش افزایش پیدا می‌کند که در اثر آن ذرات آگلومره شده‌ای از Si و Mg<sub>2</sub>Si شکل گرفته و جدایش مرکز محور آنها تشديید می‌شود.

۵- بیشترین سرعت جدایش ذرات Mg<sub>2</sub>Si در استوانه ریختگی Mg-Al-20Si-12Mg رخ می‌دهد که در آن به دلیل کاهش کسر حجمی ذرات Si، برخورد میان آنها و ذرات Mg<sub>2</sub>Si کاهش یافته و به تبع آن، سرعت جدایش ذرات Mg<sub>2</sub>Si و تجمع آن در لایه داخلی استوانه افزایش پیدا می‌کند. به همین خاطر، این ذرات در ریزساختار استوانه به حالت آگلومره شده ظاهر می‌شوند.

## مراجع

- [1] Zamani R., Mirzadeh H., Emamy M., Mechanical properties of a hot deformed Al-Mg<sub>2</sub>Si in-situ composite, Materials Science and Engineering: A, 2018, 726, 10-17.
- [2] Pramod S.L., Bakshi S.R., Murty B.S., Aluminum-based cast in situ composites: A review, Journal of Materials Engineering and Performance, 2015, 24, 2185-2207.
- [3] Emamy M., Khorshidi R., Raouf A.H., The influence of pure Na on the microstructure and tensile properties of Al-Mg<sub>2</sub>Si metal matrix composite, Materials Science and Engineering: A, 2011, 528, 4337-4342.
- [4] Rajan T.P.D., Pai B.C., Processing of functionally graded aluminum matrix composite by centrifugal casting technique, Materials Science Forum, 2011, 690, 157-161.
- [5] Kwon H., Bradbury C.R., Leparoux M., Fabrication of functionally graded carbon nanotube-reinforced aluminum matrix composite, Advanced Engineering Materials, 2011, 13, 325-329.
- [6] Udupa G., Rbo S. Sh., Gangadharan K.V., Functionally graded composite materials: An overview, Procedia Materials Science, 2014, 5, 1291-1299.
- [7] Radhika N., Raghu R., Development of functionally graded aluminum composites using centrifugal casting and influence of reinforcements on mechanical and wear properties, Trans. Non. Met. Soc. China, 2016, 26, 905-916.
- [8] Arsha A.G., Jayakumar E., Rajan T.P.D., Antony V., Pai B.C., Design and fabrication of functionally graded in-situ aluminum composites for automotive pistons, Materials and Design, 2015, 88, 1201-1209.
- [9] Karun A.S., Rajan T.P.D., Pillai U.T.S., Pai B.C., Rajeev V.R., Farook A., Enhancement in tribological behavior of functionally graded SiC reinforced aluminum composite by centrifugal casting, Journal of Composite Materials, 2015, 50, 2255-2269.
- [10] Krisnan P.M., Hari S., Jayakumari E., Rajan T.P.D., Prabhu K.N., Centrifugal casting and characterization of primary silicon and Mg<sub>2</sub>Si dispersed aluminum functionally graded materials, Materials Science Forum, 2015, 830-831, 11-14.

Si حدود دو برابر سختی فاز Mg<sub>2</sub>Si است، انتظار می‌رود که با افزایش مقدار منیزیم آلیاژ‌های Al-Si-Mg، کسر حجمی ذرات Mg<sub>2</sub>Si در ریزساختار افزایش یافته و درنتیجه سختی آلیاژ‌ها کاهش یابد [۳۲، ۳۳]. در این راستا، با ریختگی گریز از مرکز کامپوزیت با زمینه آلومینیم ۳۹۰ تقویت شده با ذرات Mg<sub>2</sub>Si و Si حداکثر مقدار سختی درازای اضافه کردن ۲/۵ درصد Mg به دست آمده است [۳۰]. بر این اساس، با توجه به اینکه با افزایش مقدار منیزیم آلیاژ‌ها در استوانه‌های ریختگی، اندازه ذرات Mg<sub>2</sub>Si جدایش یافته به لایه‌های داخلی استوانه‌ها و کسر حجمی آنها در این لایه‌ها افزایش یافته است (جدول ۱) و تصاویر ریزساختاری شکل (۳) و شکل‌های (۵)، (۸) و (۱۰)، لذا مطابق انتظار، سختی لایه‌های داخلی استوانه‌ها نیز با افزایش مقدار منیزیم آلیاژ‌ها، مطابق شکل (۱۲)، افزایش نشان می‌دهد.



شکل ۱۲- تغییرات سختی در راستای شعاعی استوانه‌های ریختگی از جداره داخلی به سمت جداره خارجی آنها

## نتیجه‌گیری

با افزودن منیزیم به آلیاژ هایپریوتکتیک Al-20Si و بررسی تأثیر آن بر درجه‌بندی ریزساختار و سختی مقاطع شعاعی استوانه‌های ریخته شده با روش گریز از مرکز نتایج زیر به دست آمدند:

- ۱- با افزایش مقدار منیزیم آلیاژ از ۶ به ۱۲ درصد، مورفلوژی ذرات Mg<sub>2</sub>Si اولیه در لایه داخلی استوانه ریختگی از حالت مکعبی به حالت چندوجهی نامنظم یا حروف‌چینی تغییر پیدا می‌کند.

- ۲- با افزایش مقدار منیزیم آلیاژ، کسر حجمی و اندازه ذرات Mg<sub>2</sub>Si اولیه در لایه داخلی استوانه‌های ریختگی افزایش، و کسر حجمی ذرات Si اولیه کاهش می‌یابد و به دلیل پایین ذرات Mg<sub>2</sub>Si اولیه نسبت به Si اولیه، سختی در لایه داخلی استوانه‌ها از ۹۴ به ۸۴ برینل کاهش پیدا می‌کند.

- ۳- کمترین سرعت جدایش ذرات Mg<sub>2</sub>Si مربوط به استوانه ریختگی Al-20Si-6Mg است که در آن، ذرات Mg<sub>2</sub>Si از

- [24] Wang Q., Wei Y., Chen W., Zhu Y., Ma C., Ding W., In situ surface composites of ( $Mg_2Si+Si$ )/ZA27 fabricated by centrifugal casting, Materials Letters, 2003, 57, 3851–3858.
- [25] Samadi A., Shahbazkhani H.R., Effect of pouring temperature and casting thickness on distribution gradient of in situ formed  $Al_2Cu$  particles during centrifugal casting of hypereutectic  $Al-Cu$  alloy, International Journal of Cast Metals Research, 2014, 27, 129-134.
- [۲۶] شهبازخانی ح.ر., صمدی ا., تأثیر دمای فوق گداز و ضخامت نمونه بر رفتار و ریزاساختار درجه‌بندی شده آلیاژ هایپریوتکتیک  $Al-Cu$  ریخته‌گری شده به روش گریز از مرکز، مجله ریخته‌گری، ۹۳، ۱۳۸۸، ۲۱-۲۷.
- [۲۷] صمدی ا., غایب لو م., تأثیر افزودن جوانهزای  $Al-5Ti-B$  بر درجه‌بندی ریزاساختار استوانه ریخته شده از کامپوزیت  $Al-13.8\text{ wt.\% }Mg_2Si$  روش ریخته‌گری گریز از مرکز، مواد پیشرفته در مهندسی مواد، ۱۳۹۴، ۴۹-۵۹ (۲۳۴).
- [28] Zhang J., Fana Z., Wang Y., Zhoub B., Hypereutectic aluminum alloy tubes with graded distribution of  $Mg_2Si$  particles prepared by centrifugal casting, Materials and Design, 2000, 21, 149-153.
- [29] Qudong W., Yongjun C., Wenzhou C., Yinhong W., Chunquan Z., Wenjiang D., Centrifugally cast  $Zn-27Al-xMg-ySi$  alloys and their in situ ( $Mg_2Si + Si$ )/ZA27 composite, Materials Science and Engineering A, 2005, 394, 425-434.
- [30] Raghunandan S., Hyder J.A., Rajan T.P.D., Processing of primary silicon and  $Mg_2Si$  reinforced hybrid functionally graded aluminum composites by centrifugal casting, Journal of Materials Science Forum, 2012, 710, 395-400.
- [31] Yan-bo Z., Chang-ming L., Kai W., Mao-hua Z., Yong X., Characteristics of two Al based functionally gradient reinforced by primary Si particle and Si/in situ  $Mg_2Si$  particles in centrifugal casting, Transactions of Nonferrous Metals Society of China, 2010, 20, 361-370.
- [32] Zhang J., Fan Z., Wang Y.Q., Zhou B.L., Microstructure and mechanical properties of in-situ  $Al-Mg_2Si$  composites, Materials Science and Technology, 2000, 16, 913-918.
- [33] Warmuzek M., Aluminium-Silicon Casting Alloys, ASM Handbooks, 2000, 1-9.
- [34] Li C., Wu Y.Y., Li H., Liu X.F., Morphological evolution and growth mechanism of primary  $Mg_2Si$  phase in  $Al-Mg_2Si$  alloys, Acta Materialia, 2011, 59, 1058–1067.
- [35] Qin Q.D., Zhao Y.G., Nonfaceted growth of intermetallic  $Mg_2Si$  in Al melt during rapid solidification, Journal of Alloys and Compounds, 2008, 462, 462: L28-L31.
- [11] Radhika N., Raghu R., Effect of Centrifugal speed in abrasive wear behavior of  $Al-Si_5Cu_3/SiC$  functionally graded composite fabricated by centrifugal casting, Trans. Indian Inst. Met., 2015, 71(3), 715-726.
- [12] Ogawa T., Watanabe Y., Sato H., Kim I., Fukui Y., Theoretical study on fabrication of functionally graded material with density gradient by a centrifugal solid-particle method, Composites: Part A, 2006, 37, 2194–2200.
- [13] Thirtha Prasad H.P., Chikkanna N., Experimental investigation on the effect of particle loading on microstructural, mechanical and fractural properties of  $Al/Al_2O_3$  functionally graded materials, International Journal of Advanced Engineering Technology, II, 2011, 161-166.
- [14] Wang K., Zhang Z.M., Yu T., Zhu Z.Z., The transfer behavior in centrifugal casting of  $SiC_p/Al$  composites, Journal of materials Processing Technology, 2017, 242, 60-67.
- [15] Jayakumar E., Jacob J.C., Rajan T.P. D., Joseph M.A., Pai B.C., Processing and characterization of functionally graded aluminum (A319)- $SiC_p$  Metallic composites by centrifugal casting technique, Metallurgical and Materials Transactions A, 2016, 47, 4306-4315.
- [16] Valhinho A., Botas J.D., Ariza E., Gomes J.R., L.A. Rocha., Tribro corrosion studies in centrifugally cast Al-matrix  $SiC$ -reinforced functionally graded composites, Materials Science Forum, 2004, 455-456, 871-875.
- [17] Rajan T.P.D., Pillai R.M., Pai B.C., Characterization of centrifugal cast functionally graded aluminum-silicon carbide metal matrix composites, Materials Characterization, 2010, 61, 923-928.
- [18] Radhika N., Mechanical properties and abrasive wear behavior of functionally graded  $Al-Si_{12}Cu/Al_2O_3$  metal matrix composite, Trans. Indian Inst. Met., IIM 2016, DOI 10.1007/s12666-016-0870-3.
- [۱۹] آقازاده ا., صمدی ا., آقازاده س., ایجاد ریزاساختار هیبریدی درج با ریخته‌گری گریز از مرکز یک آلیاژ هایپریوتکتیک  $Al-Mg_2Si$  پژوهشنامه ریخته‌گری، ۱۳۹۷، ۹-۱۸ (۲)۲.
- [20] El-Hadad Sh., Satoa H., Watanabe Y. Wear of  $Al/Al_3Zr$  functionally graded materials fabricated by centrifugal solid-particle method, Journal of Materials Processing Technology, 2010, 210, 2245-2251.
- [21] Matsuda K., Watanabe Y., Fukui Y., Particle size distributions in in situ  $Al-Al_3Ni$  FGMS fabricated by centrifugal in situ method, Ceramic Trans, 2001, 114, 1-8.
- [22] El-Hadad Sh., Sato H., Wantanab Y., Fabrication of  $Al-Al_3Ti/Ti_3Al$  functionally graded materials under a centrifugal force, Materials, 2010, 9, 4639-4656.
- [۲۳] آقازاده س., صمدی ا., آقازاده ا., تأثیر مقدار سیلیسیم بر درجه‌بندی ریزاساختار آلیاژهای  $Al-Si$  ریخته شده به روش گریز از مرکز، پژوهشنامه ریخته‌گری، ۱۳۹۶، ۸۹-۹۷ (۲)۱.



IRANIAN FOUNDRYMEN'S  
SOCIETY

# Founding Research Journal

*Research Paper:*

## Effect of Magnesium Content on Functionally Graded Microstructure and Hardness of Centrifugally cast Al-20Si-XMg Composites

Ebrahim Aghazadeh<sup>1</sup>, Ahad Samadi<sup>2\*</sup>, Seifollah Aghazadeh<sup>1</sup>

1. MSc Student, 2. Associate Professor:  
Faculty of Materials Engineering, Sahand University of Technology, Tabriz, Iran

\*Corresponding author: E-mail: [samadi@sut.ac.ir](mailto:samadi@sut.ac.ir)

### Paper history:

Received: 22 May 2019

Accepted: 12 July 2019

### Abstract:

To evaluate the effect of magnesium content on the microstructure and hardness of the Al-Si-Mg composites in the centrifugal casting method, three cylinders with the chemical composition of Al-20Si-XMg ( $X = 6, 9, 12$ ) (as weight percent) were cast. Then the microstructure and hardness of the different radial sections were studied by optical microscope, SEM equipped with a micro-analysis system (EDS), and standard brinell hardness testing method, respectively. The phase diagram of Al-20Si-XMg system was plotted as a function of Mg% using Thermo-Calc software. Also JMat Pro software was employed to plot the variation of the mass fraction and density of the in situ formed phases during the solidification of the alloys. The results show clearly that while the coarse  $Mg_2Si$  particles are formed in high Mg content alloys; however, these particles along with the primary Si particles, both, due to the low density, based on Stokes' law in fluid mechanics, are centripetally segregated towards the inner layers of the cylinders. In addition, by increasing the Mg content of the alloys from 6% to 9% then 12% the volume fraction and average size of the  $Mg_2Si$  particles in inner layer of the cylinders, both, increase respectively from less than 7% to about 28% and from less than 54 microns to about 166 microns. But, since  $Mg_2Si$  particles are softer than Si particles, by increasing the volume fraction of the  $Mg_2Si$  particles, the hardness of the inner layers of the cylinders reduces from 86 to 81 and then 78 brinell.

### Keywords:

Centrifugal casting,  
Functionally graded composites,  
Al-Si-Mg alloys,  
Particle segregation,  
Hybrid microstructure.

### Please cite this article using:

Ebrahim Aghazadeh, Ahad Samadi, Seifollah Aghazadeh, Effect of Magnesium Content on Functionally Graded Microstructure and Hardness of Centrifugally cast Al-20Si-XMg Composites , in Persian, Founding Research Journal, 2019, 3(2) 55-66.  
DOI: 10.22034/FRJ.2019.186486.1084

Journal homepage: [www.foundingjournal.ir](http://www.foundingjournal.ir)